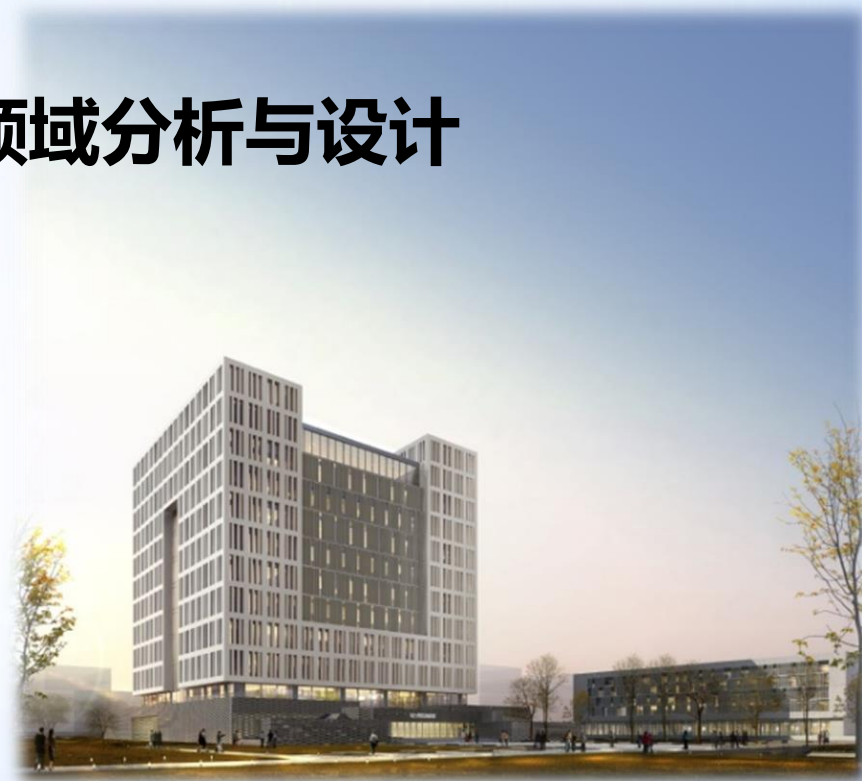


# | 第六章：控制系统的频域分析与设计





## 主要内容

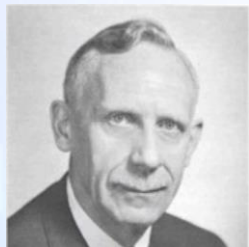
- 引言
- 频率特性的基本概念
- 频率特性的极坐标图 (Nyquist图)
- 频率特性的对数坐标图 (Bode图)
- 控制系统的奈氏图分析
- 控制系统的伯德图分析
- 闭环系统频率特性分析
- 控制系统的频率设计



# 引言



① 1932年，W.Nyquist 提出了频率响应法



② 1945年，H.W.Bode 提出了控制系统设计的频域方法



③ 1954年，钱学森在美国出版了专著《工程控制论》



## 引言

- (1) **频率特性：**研究**稳态正弦响应**的幅值和相角随频率的变化规律
- (2) 由开环频率特性研究闭环稳定性及性能
- (3) 图解分析法，方便，实用
- (4) 有一定的近似性



# 频率特性的基本概念

例6.2-1 RC电路如图所示,  $u_r(t)=A\sin\omega t$ , 求  $u_c(t)=?$

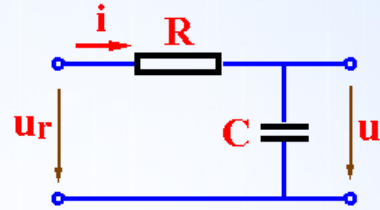
$$U_c(s) = \frac{1/T}{s+1/T} \cdot \frac{A\omega}{s^2 + \omega^2} = \frac{C_0}{s+1/T} + \frac{C_1 s + C_2}{s^2 + \omega^2}$$

$$= \frac{A\omega T}{1+\omega^2 T^2} \cdot \frac{1}{s+1/T} + \frac{A}{\sqrt{1+\omega^2 T^2}} \left[ \frac{1}{\sqrt{1+\omega^2 T^2}} \cdot \frac{\omega}{s^2 + \omega^2} - \frac{T\omega}{\sqrt{1+\omega^2 T^2}} \cdot \frac{s}{s^2 + \omega^2} \right]$$

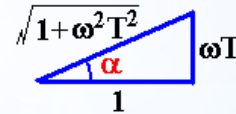
$$u_c(t) = \frac{A\omega T}{1+\omega^2 T^2} e^{-\frac{t}{T}} + \frac{A}{\sqrt{1+\omega^2 T^2}} [\sin \omega t \cdot \cos \alpha - \cos \omega t \cdot \sin \alpha]$$

$$= \frac{A\omega T}{1+\omega^2 T^2} e^{-\frac{t}{T}} + \frac{A}{\sqrt{1+\omega^2 T^2}} \sin(\omega t - \arctan \omega T)$$

$$r(t) = A \sin \omega t \xrightarrow{\boxed{\frac{1}{Ts+1}}} c_s(t) = \frac{A}{\sqrt{1+\omega^2 T^2}} \sin(\omega t - \arctan \omega T)$$



$$\begin{aligned} G(s) &= \frac{U_c(s)}{U_r(s)} = \frac{1/Cs}{R + 1/Cs} \\ &= \frac{1}{RCs + 1} \stackrel{T=RC}{=} \frac{1}{Ts + 1} \\ &= \frac{1/T}{s + 1/T} \end{aligned}$$





# 频率特性的基本概念

$$r(t) = A \sin \omega t \rightarrow \boxed{\frac{1}{Ts+1}} \rightarrow c_s(t) = \frac{A}{\sqrt{1+\omega^2 T^2}} \sin(\omega t - \arctan \omega T)$$

$G(j\omega)$

$$G(j\omega) = |G(j\omega)| \angle G(j\omega)$$

$$\begin{cases} |G(j\omega)| = \frac{|c_s(t)|}{|r(t)|} = \frac{1}{\sqrt{1+\omega^2 T^2}} \\ \angle G(j\omega) = \angle c_s(t) - \angle r(t) = -\arctan \omega T \end{cases}$$

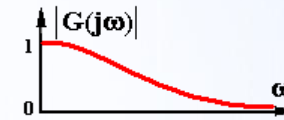
$G(j\omega)$

$$G(j\omega) = G(s) \Big|_{s=j\omega}$$

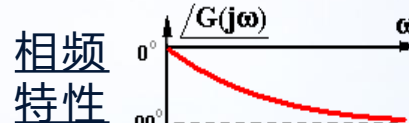
$$\frac{1}{\sqrt{1+\omega^2 T^2}} \angle -\arctan \omega T = \left| \frac{1}{1+j\omega T} \right| \angle \frac{1}{1+j\omega T} = \frac{1}{1+j\omega T} = \frac{1}{Ts+1} \Big|_{s=j\omega}$$

稳定的线性定常系统在正弦输入信号作用下的稳态响应，与输入信号同频率，但稳态输出的幅值及相角随输入频率变化而变化

幅频特性



相频特性





# 频率特性的基本概念

## 1. 频率特性 $G(j\omega)$ 的定义

$$X(t) = A \sin(\omega t + \theta_0) \xrightarrow{\text{线性定常系统 } G(s)} Y(t) = B \sin(\omega t + \theta_1)$$

系统频率特性函数

$$G(j\omega) = |G(j\omega)| \cdot e^{j\angle G(j\omega)}$$

$$|G(j\omega)| = \frac{B}{A}, \quad \text{稳态输出与输入的幅值之比, 为系统的幅频特性}$$

$$\angle G(j\omega) = \theta_1 - \theta_0, \quad \text{稳态输出与输入的相位差, 为系统的相频特性}$$

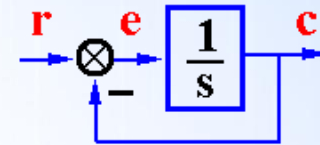
$$G(j\omega) = G(s)_{s=j\omega}$$



# 频率特性的基本概念

例6.2-2 系统结构图如图所示,  $r(t)=3\sin(2t+30^\circ)$ , 求  $c_{ss}(t)$ 。

解:  $G(s) = \frac{C(s)}{R(s)} = \frac{1}{s+1} \Rightarrow G(j\omega) = G(s)|_{s=j\omega} = \frac{1}{j\omega+1}$



$$\begin{cases} |G(j\omega)| = \left| \frac{1}{1+j\omega} \right| = \frac{1}{\sqrt{1+\omega^2}} \stackrel{\omega=2}{=} \frac{1}{\sqrt{5}} = \frac{|c_{ss}(t)|}{3} \\ \angle G(j\omega) = -\arctan \omega \stackrel{\omega=2}{=} -63.4^\circ = \angle c_{ss}(t) - \angle r(t) = \angle c_{ss}(t) - 30^\circ \end{cases}$$

$$\begin{cases} |c_{ss}(t)| = 3/\sqrt{5} \\ \angle c_{ss}(t) = -63.4^\circ + 30^\circ = -33.4^\circ \end{cases}$$

$$c_{ss}(t) = \frac{3}{\sqrt{5}} \sin(2t - 33.4^\circ)$$



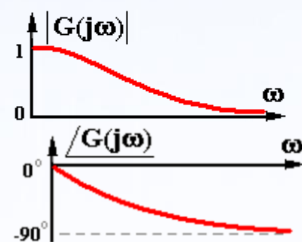
# 频率特性的基本概念

## 2. 频率特性 $G(j\omega)$ 的表示方法

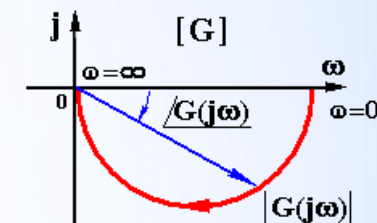
以  $G(j\omega) = \frac{1}{Ts + 1} \Big|_{s=j\omega}$  为例

### I. 频率特性

$$\left\{ \begin{array}{l} \text{幅频 } |G(j\omega)| \\ \text{相频 } \angle G(j\omega) \end{array} \right.$$

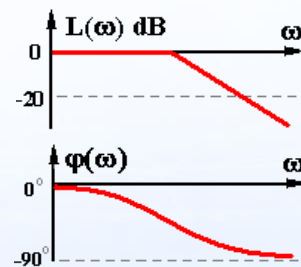


### II. 极坐标图



### III. 对数坐标图

$$\left\{ \begin{array}{l} \text{对数幅频 } L(\omega) = 20 \lg |G(j\omega)| \\ \text{对数相频 } \varphi(\omega) = \angle G(j\omega) \end{array} \right.$$

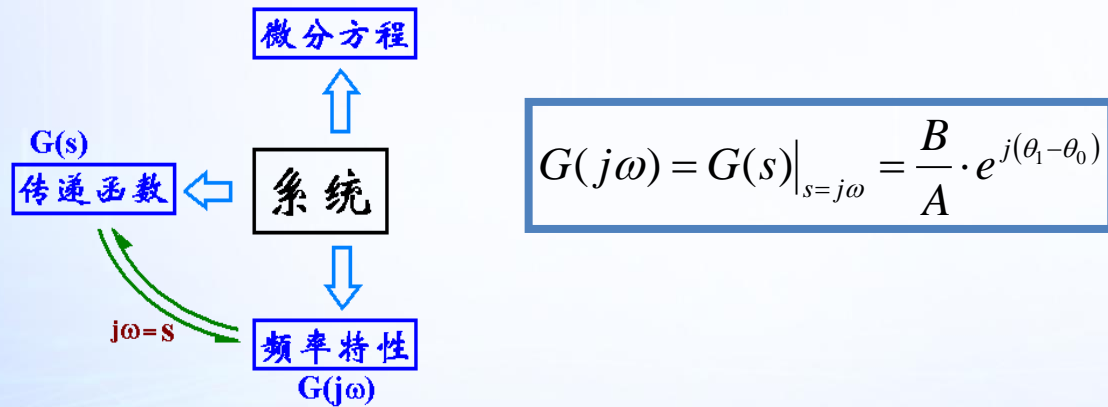




# 频率特性的基本概念

## 课程小结

$$X(t) = A \sin(\omega t + \theta_0) \xrightarrow{\text{线性定常系统 } G(s)} Y(t) = B \sin(\omega t + \theta_1)$$





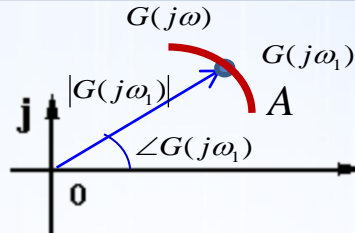
## 主要内容

- 引言
- 频率特性的基本概念
- 频率特性的极坐标图 (Nyquist图)
- 频率特性的对数坐标图 (Bode图)
- 控制系统的奈氏图分析
- 控制系统的伯德图分析
- 闭环系统频率特性分析
- 控制系统的频率设计



# 频率特性的极坐标图 (Nyquist图)

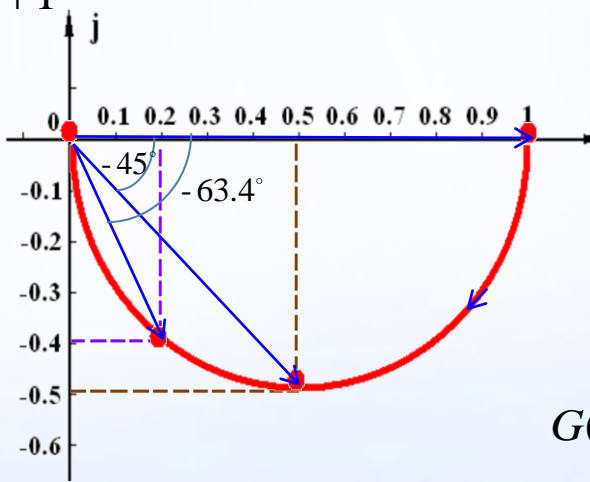
$$G(j\omega) = |G(j\omega)| e^{j\angle G(j\omega)}$$



以惯性环节为例  $G(s) = \frac{1}{0.5s+1}$

$$\begin{aligned} G(j\omega) &= \frac{1}{0.5j\omega+1} \\ &= \frac{2}{\sqrt{2^2 + \omega^2}} \cdot e^{-j\arctan(\omega/2)} \end{aligned}$$

$$= \frac{4}{2^2 + \omega^2} - j \frac{2\omega}{2^2 + \omega^2}$$



$$G(j0) = 1 \angle 0^\circ = 1 + j0$$

$$\begin{aligned} G(j2) &= 0.707 \angle -45^\circ \\ &= 0.5 - j0.5 \end{aligned}$$

$$\begin{aligned} G(j4) &= 0.447 \angle -63.4^\circ \\ &= 0.2 - j0.4 \end{aligned}$$

$$G(j\infty) = 0 \angle -90^\circ = 0 + j0$$



## 频率特性的极坐标图 (Nyquist图)

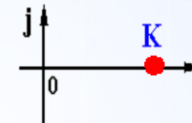
- 典型环节频率特性的极坐标图
- 典型开环系统频率特性的极坐标图 (Nyquist图)



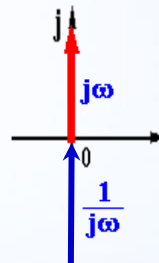
# 频率特性的极坐标图 (Nyquist图)

## 1. 典型环节频率特性的极坐标图

(1) 比例环节  $G(s) = K \quad G(j\omega) = K \quad \begin{cases} |G| = K \\ \angle G = 0^\circ \end{cases}$



(2) 微分环节  $G(s) = s \quad G(j\omega) = j\omega \quad \begin{cases} |G| = \omega \\ \angle G = 90^\circ \end{cases}$



(3) 积分环节  $G(s) = \frac{1}{s} \quad G(j\omega) = \frac{1}{j\omega} \quad \begin{cases} |G| = 1/\omega \\ \angle G = -90^\circ \end{cases}$



# 频率特性的极坐标图 (Nyquist图)

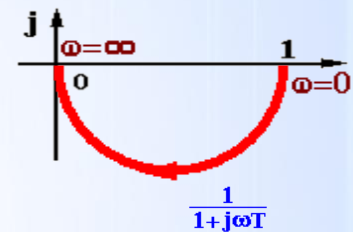
## 1. 典型环节频率特性的极坐标图

$$(4) \text{ 惯性环节 } G(s) = \frac{1}{Ts+1} \quad G(j\omega) = \frac{1}{1+j\omega T} \quad \begin{cases} |G| = \frac{1}{\sqrt{1+\omega^2 T^2}} \\ \angle G = -\arctan \omega T \end{cases}$$

$$\begin{aligned} &= \frac{1-j\omega T}{1+\omega^2 T^2} \\ &= R(\omega) + jI(\omega) \end{aligned}$$

$$\begin{cases} R = \frac{1}{1+\omega^2 T^2} \\ I = \frac{-\omega T}{1+\omega^2 T^2} = -\omega T \cdot R \quad \Rightarrow \omega T = -\frac{I}{R} \end{cases}$$

$$R^2 \left[ 1 + \frac{I^2}{R^2} \right] = R \quad \Rightarrow \quad R^2 - R + I^2 = 0$$



(第四象限半圆)

$$\left( R - \frac{1}{2} \right)^2 + I^2 = \left( \frac{1}{2} \right)^2$$



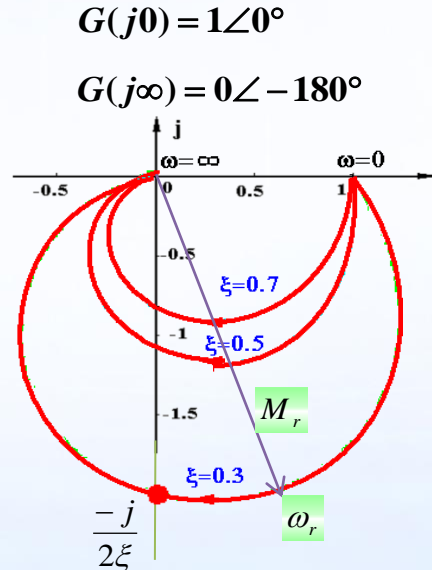
# 频率特性的极坐标图 (Nyquist图)

## 1. 典型环节频率特性的极坐标图

(5) 二阶振荡环节  $G(s) = \frac{\omega_n^2}{s^2 + 2\xi\omega_n s + \omega_n^2} (0 < \xi < 1)$

$$G(j\omega) = \frac{1}{1 - \frac{\omega^2}{\omega_n^2} + j2\xi\frac{\omega}{\omega_n}}$$

$$\left\{ \begin{array}{l} |G| = \sqrt{\left[1 - \frac{\omega^2}{\omega_n^2}\right]^2 + \left[2\xi\frac{\omega}{\omega_n}\right]^2} \\ \angle G = -\arctan \frac{2\xi\frac{\omega}{\omega_n}}{1 - \frac{\omega^2}{\omega_n^2}} \end{array} \right.$$



$$G(j\omega_n) = \frac{1}{j2\xi} = \frac{1}{2\xi} \angle -90^\circ$$

$$\left\{ \begin{array}{l} \omega_r = \omega_n \sqrt{1 - 2\xi^2} \\ (0 < \xi < 0.707) \end{array} \right.$$

$$M_r = |G(j\omega_r)| = \frac{1}{2\xi\sqrt{1 - \xi^2}}$$

谐振频率  $\omega_r$

谐振峰值

$M_r$



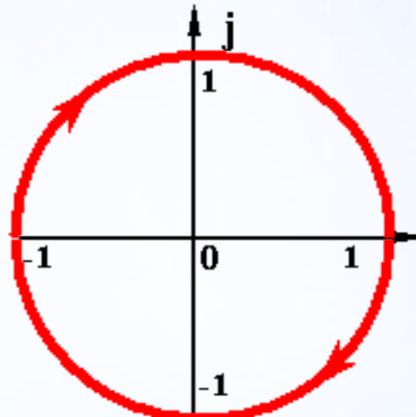
## 频率特性的极坐标图 (Nyquist图)

### 1. 典型环节频率特性的极坐标图

(6) 迟延环节  $G(s) = e^{-\tau s}$

$$G(j\omega) = e^{-j\omega\tau}$$

$$\begin{cases} |G| = 1 \\ \angle G = -\tau\omega \end{cases}$$





## 频率特性的极坐标图 (Nyquist图)

### 2. 典型开环系统频率特性的极坐标图 (Nyquist图)

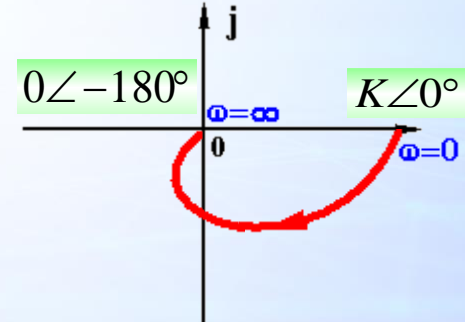
$$GH(s) = \frac{K(\tau_1 s + 1) \cdots (\tau_m s + 1)}{s^N (T_1 s + 1) \cdots (T_{n-N} s + 1)} = \frac{K \prod_{i=1}^m (\tau_i s + 1)}{s^N \prod_{j=1}^{n-N} (T_j s + 1)}$$

例6.3-1 开环系统Nyquist图的绘制

(1) 0型

$$GH(s) = \frac{K}{(T_1 s + 1)(T_2 s + 1)}$$

$$GH(j\omega) = \frac{K}{\sqrt{1+(\omega T_1)^2} \cdot \sqrt{1+(\omega T_2)^2}} \angle -(\arctan \omega T_1 + \arctan \omega T_2)$$





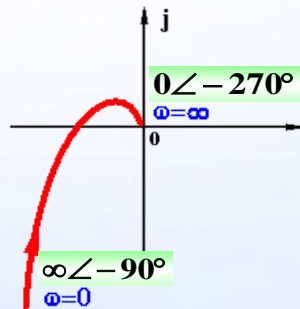
# 频率特性的极坐标图 (Nyquist图)

## 2. 典型开环系统频率特性的极坐标图 (Nyquist图)

例6.3-1 开环系统Nyquist图的绘制

(2) 1型       $GH(s) = \frac{K}{s(T_1 s + 1)(T_2 s + 1)}$

$$GH(j\omega) = \frac{K}{\omega \cdot \sqrt{1 + (\omega T_1)^2} \cdot \sqrt{1 + (\omega T_2)^2}} \angle -\left(90^\circ + \arctan \omega T_1 + \arctan \omega T_2\right)$$





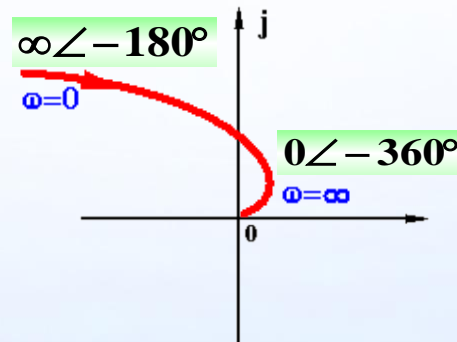
# 频率特性的极坐标图 (Nyquist图)

## 2. 典型开环系统频率特性的极坐标图 (Nyquist图)

例6.3-1 开环系统Nyquist图的绘制

(3) 2型       $GH(s) = \frac{K}{s^2(T_1s + 1)(T_2s + 1)}$

$$GH(j\omega) = \frac{K}{\omega^2 \cdot \sqrt{1+(\omega T_1)^2} \cdot \sqrt{1+(\omega T_2)^2}} \angle -\left(180^\circ + \arctan \omega T_1 + \arctan \omega T_2\right)$$





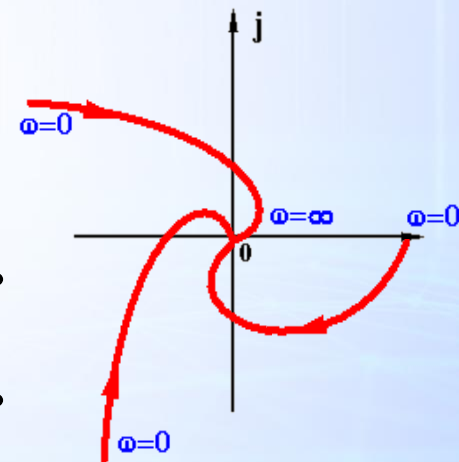
# 频率特性的极坐标图 (Nyquist图)

## 2. 典型开环系统频率特性的极坐标图 (Nyquist图)

例6.3-1 开环系统Nyquist图的绘制

(4) N型  $GH(s) = \frac{K}{s^N(T_1s+1)(T_2s+1)}$

$N$	$GH(j\omega)$	起点	终点
0	$\frac{K}{(1+j\omega T_1)(1+j\omega T_2)}$	$K\angle 0^\circ$	$0\angle -180^\circ$
1	$\frac{K}{j\omega(1+j\omega T_1)(1+j\omega T_2)}$	$\infty\angle -90^\circ$	$0\angle -270^\circ$
2	$\frac{K}{(j\omega)^2(1+j\omega T_1)(1+j\omega T_2)}$	$\infty\angle -180^\circ$	$0\angle -360^\circ$





# 频率特性的极坐标图 (Nyquist图)

## 2. 典型开环系统频率特性的极坐标图 (Nyquist图)

$$GH(s) = \frac{K \prod_{i=1}^m (\tau_i s + 1)}{s^N \prod_{j=1}^{n-N} (T_j s + 1)}$$

$$\left\{ \begin{array}{l} |GH(j\omega)| = \frac{K \prod_{i=1}^m |1 + j\tau_i \omega|}{|\omega|^N \prod_{j=1}^{n-N} |1 + jT_j \omega|} = \frac{K \prod_{i=1}^m \sqrt{1 + \tau_i^2 \omega^2}}{\omega^N \prod_{j=1}^{n-N} \sqrt{1 + T_j^2 \omega^2}} \\ \angle GH(j\omega) = \sum_{i=1}^m \angle(1 + j\tau_i \omega) - N \times 90^\circ - \sum_{j=1}^{n-N} \angle(1 + jT_j \omega) \\ \quad = \arctan \tau_1 \omega + \dots + \arctan \tau_m \omega \\ \quad \quad - N \times 90^\circ - \arctan T_1 \omega - \dots - \arctan T_{n-N} \omega \end{array} \right.$$

起点

$$\begin{cases} K \angle 0^\circ & N = 0 \\ \infty \angle -90^\circ & N > 0 \end{cases}$$

终点

$$0 \angle -90^\circ (n-m)$$



## 频率特性的极坐标图 (Nyquist图)

### 2. 典型开环系统频率特性的极坐标图 (Nyquist图)

例6.3-2  $GH(s) = \frac{5}{s(s+1)(2s+1)}$  , 画  $GH(j\omega)$  奈氏图。

解  $GH(j\omega) = \frac{5}{j\omega(1+j\omega)(1+j2\omega)} = \frac{-j5(1-j\omega)(1-j2\omega)}{\omega(1+\omega^2)(1+4\omega^2)}$

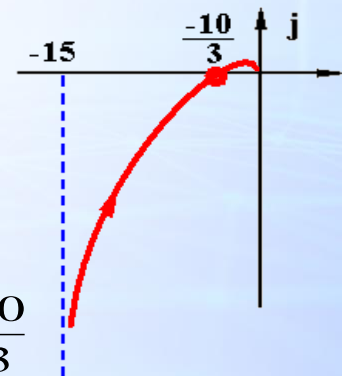
$$= \frac{-15}{(1+\omega^2)(1+4\omega^2)} - j \frac{5(1-2\omega^2)}{\omega(1+\omega^2)(1+4\omega^2)}$$

$$GH(j0) = \infty \angle -90^\circ \quad GH(j\infty) = 0 \angle -270^\circ$$

渐近线:  $\text{Re}[GH(j0)] \Rightarrow -15$

与实轴交点:  $\text{Im}[GH(j\omega)] = 0 \Rightarrow \omega = 1/\sqrt{2} = 0.707$

$$\text{Re}[GH(j0.707)] = \frac{-15}{(1+0.5)(1+4\times0.5)} = -\frac{10}{3}$$





# 频率特性的极坐标图 (Nyquist图)

## 课程小结

- 典型环节频率特性的极坐标图

- 典型开环系统频率特性的极坐标图 (Nyquist图)

**绘制步骤：**

(1) 分析幅相曲线的起点  $GH(j0)$  和终点  $GH(j\infty)$ ；

(2) 幅相曲线的中间段由  $GH$  矢量随  $s = jw$  的变化规律概略绘制；

(3) 必要时可以求出  $G(jw)$  与实/虚轴的交点。



# 主要内容

- 引言
- 频率特性的基本概念
- 频率特性的极坐标图（Nyquist图）
- 频率特性的对数坐标图（Bode图）
- 控制系统的奈氏图分析
- 控制系统的伯德图分析
- 闭环系统频率特性分析
- 控制系统的频率设计



# 频率特性的对数坐标图 (Bode图)



## 坐标特点

- 横轴 { 按  $\lg \omega$  刻度, dec “十倍频程”  
按  $\omega$  标注
- 纵轴 {  $L(\omega) = 20 \lg |G(j\omega)|$  dB(分贝)  
 $\phi(\omega)$  °(度)
- 特点 { (1) 幅值相乘 = 对数相加, 便于叠加作图;  
(2) 可在大范围内表示频率特性;



## 频率特性的对数坐标图 (Bode图)

- 典型环节的Bode图
- 典型开环系统频率特性对数坐标图 (Bode图)
- 最小相位系统和非最小相位系统



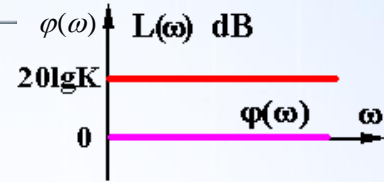
# 频率特性的对数坐标图 (Bode图)

## 1. 典型环节的Bode图

(1) 比例环节

$$G(s) = K$$

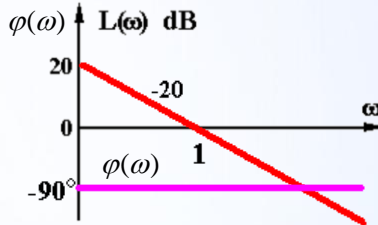
$$\begin{cases} L(\omega) = 20 \lg K \\ \varphi(\omega) = 0^\circ \end{cases}$$



(2) 积分环节

$$G(s) = \frac{1}{s}$$

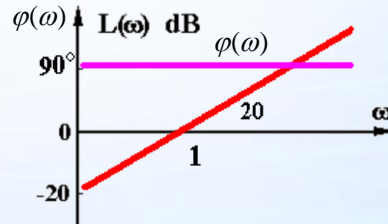
$$\begin{cases} L(\omega) = -20 \lg \omega \\ \varphi(\omega) = -90^\circ \end{cases}$$



(3) 微分环节

$$G(s) = s$$

$$\begin{cases} L(\omega) = 20 \lg \omega \\ \varphi(\omega) = 90^\circ \end{cases}$$





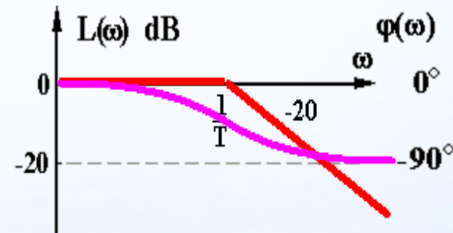
# 频率特性的对数坐标图 (Bode图)

## 1. 典型环节的Bode图

(4) 惯性环节       $G(s) = \frac{1}{1+Ts}$      $G(j\omega) = \frac{1}{1+j\omega T}$

$$\begin{cases} L(\omega) = -20 \lg \sqrt{1 + \omega^2 T^2} & \approx \begin{cases} 0 & \omega \ll 1/T \\ -20 \lg T \omega & \omega \gg 1/T \end{cases} \\ \varphi(\omega) = -\arctan \omega T \end{cases}$$

对数幅频渐近线





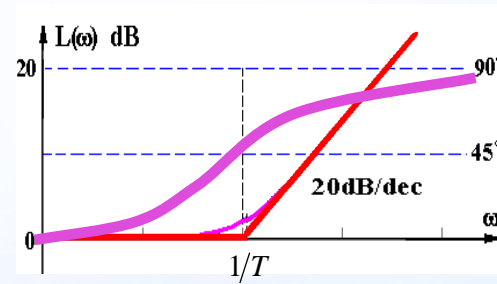
# 频率特性的对数坐标图 (Bode图)

## 1. 典型环节的Bode图

(5)一阶微分  $G(s) = 1 + Ts$      $G(j\omega) = 1 + j\omega T$

$$\begin{cases} L(\omega) = 20 \lg \sqrt{1 + \omega^2 T^2} \approx \begin{cases} 0 & \omega \ll 1/T \\ 20 \lg T\omega & \omega \gg 1/T \end{cases} \\ \varphi(\omega) = \arctan \omega T \end{cases}$$

对数幅频渐近线





# 频率特性的对数坐标图 (Bode图)

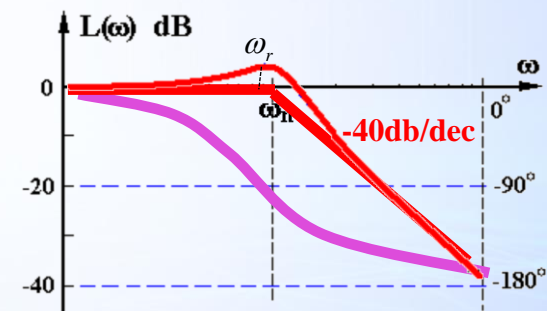
## 1. 典型环节的Bode图

**(6)二阶振荡环节**  $G(s) = \frac{\omega_n^2}{s^2 + 2\xi\omega_n s + \omega_n^2}$  ( $0 < \xi < 1$ )     $G(j\omega) = \frac{1}{1 - \frac{\omega^2}{\omega_n^2} + j2\xi\frac{\omega}{\omega_n}}$

$$\begin{cases} L(\omega) = -20 \lg \sqrt{\left(1 - \frac{\omega^2}{\omega_n^2}\right)^2 + \left(2\xi\frac{\omega}{\omega_n}\right)^2} \approx \begin{cases} 0 & \omega/\omega_n \ll 1 \\ -40 \lg(\omega/\omega_n) & \omega/\omega_n \gg 1 \end{cases} \\ \varphi(\omega) = -\arctan \left[ \left( 2\xi\frac{\omega}{\omega_n} \right) / \left( 1 - \frac{\omega^2}{\omega_n^2} \right) \right] \end{cases}$$

谐振频率     $\omega_r = \omega_n \sqrt{1 - 2\xi^2}$      $0 < \xi \leq 0.707$

谐振幅值     $M_r = \frac{1}{2\xi\sqrt{1 - \xi^2}}$



$$L(\omega_r) = 20 \lg M_r = 20 \lg \frac{1}{2\xi\sqrt{1 - \xi^2}}$$



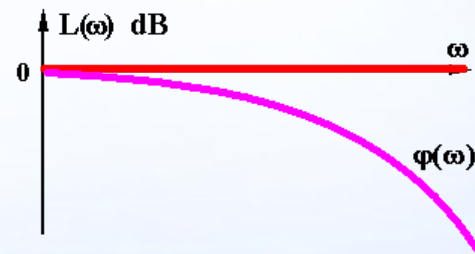
# 频率特性的对数坐标图 (Bode图)

## 1. 典型环节的Bode图

(7) 延迟环节  $G(s) = e^{-\tau s}$

$$G(j\omega) = e^{-j\omega\tau}$$

$$\begin{cases} L(\omega) = 20 \lg 1 = 0 \\ \varphi(\omega) = -57.3^\circ \times \tau \omega \end{cases}$$





# 频率特性的对数坐标图 (Bode图)

## 2. 典型开环系统频率特性对数坐标图 (Bode图)

$$GH(s) = \frac{K(\tau_1 s + 1) \cdots (\tau_m s + 1)}{s^\nu (T_1 s + 1) \cdots (T_{n-\nu} s + 1)}$$

$$\left\{ \begin{array}{l} L(\omega) = 20 \lg |GH| = 20 \lg \frac{K |1 + j\tau_1 \omega| \cdots |1 + j\tau_m \omega|}{|\omega|^\nu |1 + jT_1 \omega| \cdots |1 + jT_{n-\nu} \omega|} \\ \quad = 20 \lg K + 20 \lg |1 + j\tau_1 \omega| + \cdots + 20 \lg |1 + j\tau_m \omega| \\ \quad \quad - 20\nu \lg |\omega| - 20 \lg |1 + jT_1 \omega| - \cdots - 20 \lg |1 + jT_{n-\nu} \omega| \\ \\ \varphi(\omega) = \angle GH \\ \quad = \arctan \tau_1 \omega + \cdots + \arctan \tau_m \omega \\ \quad \quad - 90^\circ \nu - \arctan T_1 \omega - \cdots - \arctan T_{n-\nu} \omega \end{array} \right.$$



# 频率特性的对数坐标图 (Bode图)

## 2. 典型开环系统频率特性对数坐标图 (Bode图)

$$GH(s) = \frac{K(\tau_1 s + 1) \cdots (\tau_m s + 1)}{s^v (T_1 s + 1) \cdots (T_{n-v} s + 1)}$$

- (1) 化  $GH(s)$  为尾 1 标准型
- (2) 顺序列出转角频率
- (3) 确定低频渐近线
  - 点 ( $\omega = 1, L(1) = 20 \lg K$ )
  - 斜率  $-20 \cdot v \text{ dB/dec}$

$$L_d(\omega) \approx 20 \lg \frac{K}{\omega^v} = 20 \lg K - v \cdot 20 \lg \omega \quad (\omega < \omega_1)$$



# 频率特性的对数坐标图 (Bode图)

## 2. 典型开环系统频率特性对数坐标图 (Bode图)

(4) 叠加作图

一阶	{ 惯性环节 -20dB/dec
二阶	+20dB/dec
一阶微分	
振荡环节	-

$$L(\omega) \approx \begin{cases} 20\lg \frac{K}{\omega^v} \pm 20\lg x\omega & (\omega_1 \leq \omega < \omega) \\ \vdots \\ 20\lg \frac{K \prod_{i=1}^m (\tau_i \omega)}{\omega^v \prod_{i=1}^m (\tau_i \omega)} & (\omega_q \leq \omega) \end{cases}$$

(5) 修正 (转角频率处)

(6) 作对数相频图  $\varphi(\omega \rightarrow \infty) \Rightarrow -90^\circ(n-m)$



# 频率特性的对数坐标图 (Bode图)

## 2. 典型开环系统频率特性对数坐标图 (Bode图)

例6.4-1  $GH(s) = \frac{40(s+0.5)}{s(s+0.2)(s^2+s+1)}$

(1) 化 $GH(s)$ 为尾1标准型  $GH(s) = \frac{100(\frac{s}{0.5}+1)}{s(\frac{s}{0.2}+1)(s^2+s+1)}$

(2) 顺序列出转角频率  
 $\left\{ \begin{array}{l} 0.2 \text{ 惯性环节} \\ 0.5 \text{ 一阶微分} \\ 1 \text{ 振荡环节} \end{array} \right.$

(3) 确定低频渐近线 (最小转角频率以左)  $\left\{ \begin{array}{ll} \text{点} & (\omega=1, 40) \\ \text{斜率} & -20 \text{ dB/dec} \end{array} \right.$

$$L_d(\omega) \approx 20 \lg \frac{100}{\omega}$$

$$= 20 \lg 100 - 20 \lg \omega \quad (\omega < 0.2)$$



# 频率特性的对数坐标图 (Bode图)

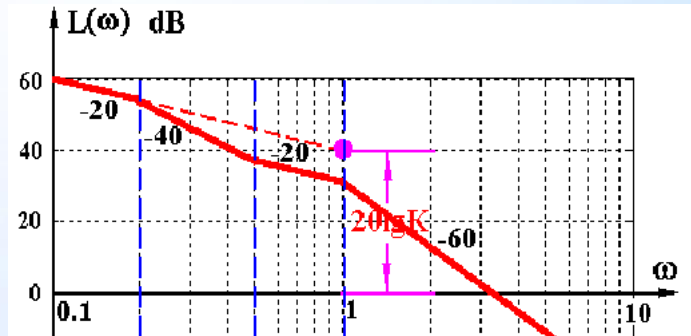
## 2. 典型开环系统频率特性对数坐标图 (Bode图)

例6.4-1  $GH(s) = \frac{40(s+0.5)}{s(s+0.2)(s^2+s+1)} = \frac{100(\frac{s}{0.5}+1)}{s(\frac{s}{0.2}+1)(s^2+s+1)}$

(4) 叠加作图

$\omega=0.2$	惯性环节	-20
$\omega=0.5$	一阶微分	+20
$\omega=1$	振荡环节	-40

$$L(\omega) \approx \begin{cases} 20 \lg \frac{100}{\omega \cdot \omega/0.2} & 0.2 < \omega < 0.5 \\ 20 \lg \frac{100 \cdot \omega/0.5}{\omega \cdot \omega/0.2} & 0.5 < \omega < 1 \\ 20 \lg \frac{100 \cdot \omega/0.5}{\omega \cdot \omega/0.2 \cdot (\omega/1)^2} & 1 < \omega \end{cases}$$





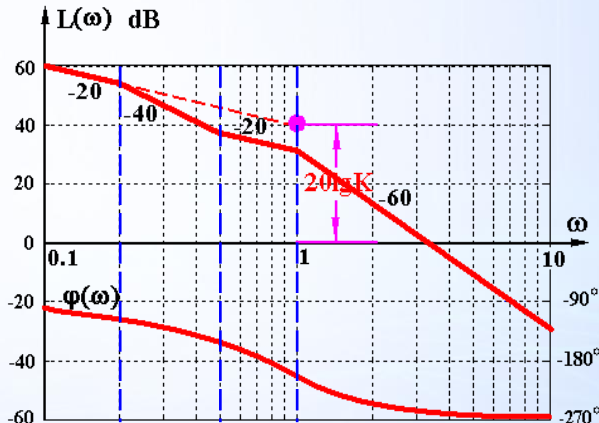
# 频率特性的对数坐标图 (Bode图)

## 2. 典型开环系统频率特性对数坐标图 (Bode图)

例6.4-1  $GH(s) = \frac{40(s+0.5)}{s(s+0.2)(s^2+s+1)} = \frac{100(\frac{s}{0.5}+1)}{s(\frac{s}{0.2}+1)(s^2+s+1)}$

(5) 修正

(6) 对数相频图



$$\varphi(\omega) = \left( \arctan(\omega/0.5) - \frac{\pi}{2} - \arctan(\omega/0.2) - \arctan(\omega/1 - \omega^2) \right) \cdot 57.3^\circ$$



# 频率特性的对数坐标图 (Bode图)

## 3. 最小相位系统和非最小相位系统

$$GH(s) = \frac{K(\tau_1 s + 1) \cdots (\tau_m s + 1)}{s^\nu (T_1 s + 1) \cdots (T_{n-\nu} s + 1)}$$

**最小相位系统** —— 在右半s平面没有开环零、极点的系统

**非最小相位系统** —— 在右半s平面存在开环零、极点或带纯迟延环节的系统

例如：

$$G_1(s) = \frac{1+T_2 s}{1+T_1 s} \quad T_1 > T_2 > 0 \quad \text{最小相位系统}$$

$$G_2(s) = \frac{1-T_2 s}{1+T_1 s} \quad T_1 > T_2 > 0 \quad \text{非最小相位系统}$$



# 频率特性的对数坐标图 (Bode图)

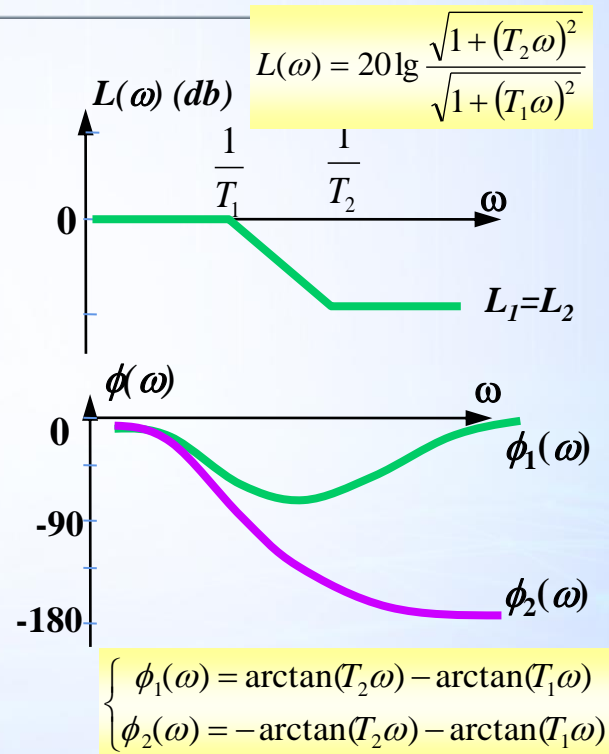
## 3. 最小相位系统和非最小相位系统

$$G_1(s) = \frac{1+T_2s}{1+T_1s} \quad T_1 > T_2 > 0 \quad \text{最小相位}$$

$$G_2(s) = \frac{1-T_2s}{1+T_1s} \quad T_1 > T_2 > 0 \quad \text{非最小相位}$$

★ 最小相位系统由  $L(\omega)$  可以唯一确定  $G H(s)$   
非最小相位系统由  $L(\omega)$  不能唯一确定  $G H(s)$

★ 非最小相位系统相角变化的范围一般比最小相位系统的大





# 频率特性的对数坐标图 (Bode图)

## 课程小结

- 典型环节的Bode图
- 典型开环系统频率特性对数坐标图 (Bode图)

- (1) 化  $GH(s)$  为尾 1 标准型
- (2) 顺序列出转角频率
- (3) 确定低频渐近线  
(最小转角频率以左)     $\left\{ \begin{array}{l} \text{点 } (\omega = 1, L(1) = 20 \lg K) \\ \text{斜率 } -20 \cdot v \text{ dB/dec} \end{array} \right.$



# 频率特性的对数坐标图 (Bode图)

## 课程小结

(4) 叠加作图 {  
    一阶 { 惯性环节  $-20 \text{ dB/dec}$   
                一阶微分  $+20 \text{ dB/dec}$   
    二阶 振荡环节  $-40 \text{ dB/dec}$

(5) 修正 (转角频率处)

(6) 作对数相频图  $\varphi(w) \Rightarrow -90^\circ(n-m)$

最小相位系统和非最小相位系统



## 主要内容

- 引言
- 频率特性的基本概念
- 频率特性的极坐标图 (Nyquist图)
- 频率特性的对数坐标图 (Bode图)
- **控制系统的奈氏图分析**
- 控制系统的伯德图分析
- 闭环系统频率特性分析
- 控制系统的频率设计



# 控制系统的奈氏图分析

- 奈奎斯特判据的基本原理
- 奈奎斯特稳定性判据一
- 一种实用的奈奎斯特稳定性判据
- 奈奎斯特稳定性判据二
- 奈奎斯特稳定性判据的应用问题



# 奈奎斯特判据的基本原理

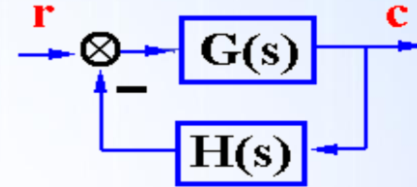
## 1. 特征函数的零点和极点

$$F(s) = 1 + GH(s) = \frac{(s - p_1)(s - p_2)(s - p_3) + K^* M(s)}{(s - p_1)(s - p_2)(s - p_3)}$$

$$= \frac{D(s)}{N(s)} = K \frac{(s - z_1)(s - z_2)(s - z_3)}{(s - p_1)(s - p_2)(s - p_3)}$$

F(s)的零点 zi : 闭环极点  
F(s)的极点 pi : 开环极点

} 个数相同



假设

$$GH(s) = \frac{K^* M(s)}{(s - p_1)(s - p_2)(s - p_3)}$$



# 奈奎斯特判据的基本原理

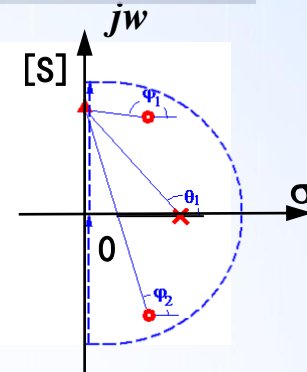
## 2. 奈奎斯特轨迹及其映射

$$F(s) = 1 + GH(s)$$

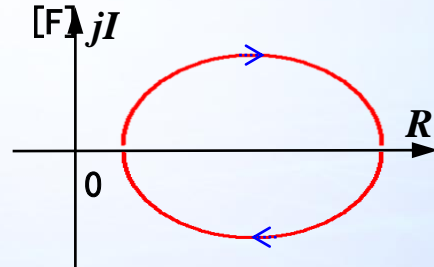
设  $F(s)$  在右半  $s$  平面上有  $Z$  个零点 (闭环极点)  
 $P$  个极点 (开环极点)  
且奈氏轨迹上无零极点

幅角原理:  $N = P - Z$

$N$  ---  $F$  平面上封闭曲线逆时针包围原点的次数



$s$  平面的奈奎斯特轨迹



$F$  平面的映射 (示意图)



# 奈奎斯特判据的基本原理

## 3. 奈奎斯特判据的基本原理

$$F(s) = 1 + GH(s) \Rightarrow GH(j\omega) = F(j\omega) - 1 \quad (\omega: -\infty \rightarrow 0 \rightarrow +\infty)$$

幅角原理:  $N = P - Z$

$$Z = P - N$$

N --- F平面中封闭曲线

逆时针包围原点的次数

P --- F(s)极点在S右半平面  
的个数

Z --- F(s)零点在S右半平面  
的个数

**Z** --- 闭环极点在S右半平面的个数

**P** --- 开环极点在S右半平面的个数

**N** --- 奈氏曲线逆时针包围(-1,j0)点的次数

$$(\omega: -\infty \rightarrow 0 \rightarrow +\infty)$$



# 奈奎斯特稳定性判据一

(系统开环传函在原点和虚轴上无零极点)

若奈氏曲线  $GH(j\omega)(\omega: -\infty \rightarrow \infty)$  逆时针包围  $(-1, j0)$  点的次数  $N$

等于位于右半平面上开环极点数  $P$ , 则闭环系统稳定, 否则闭环系统不稳定。

若奈氏曲线正好过  $(-1, j0)$  点, 则闭环系统临界稳定。

绘开环系统  $GH(jw)$  的奈氏图, 可先绘  $\omega: 0 \rightarrow \infty$  一段, 再以实轴对称的方法添上  $\omega: -\infty \rightarrow 0$  的一段;

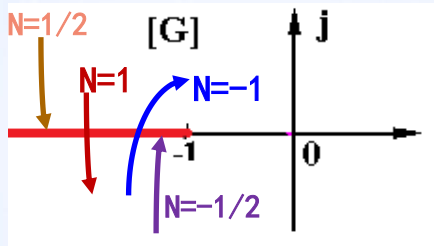
计算奈氏曲线逆时针包围  $(-1, j0)$  点的次数  $N$

由给定的开环传函  $GH$  确定右半  $S$  平面上开环极点数  $P$

计算  $P - N$ , 若  $Z = P - N = 0$  则闭环稳定



# 一种实用的奈奎斯特稳定性判据



逆时针穿越为正，  
顺时针穿越为负

奈奎斯特判据的基本原理： $Z = P - 2N$

**Z** ---闭环极点在S右半平面的个数

**P** ---开环极点在S右半平面的个数

**N** ---当 $\omega:0 \rightarrow \infty$ 时，奈氏曲线 $GH(j\omega)$ 穿越 $(-\infty, -1]$ 段的次数

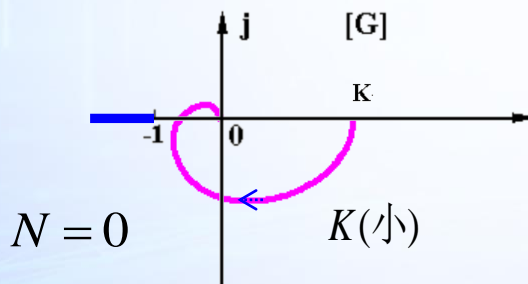


# 一种实用的奈奎斯特稳定性判据

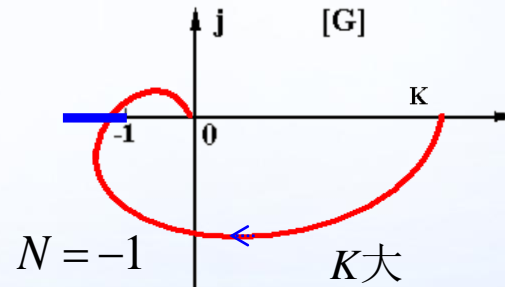
例6.5-1 已知某单位反馈系统的开环传递函数 $G(s)$ , 分析该闭环系统的稳定性。

$$G(s) = \frac{K}{(T_1 s + 1)(T_2 s + 1)(T_3 s + 1)}$$

解 :  $\begin{cases} G(j0) = K\angle 0^\circ \\ G(j\infty) = 0\angle -270^\circ \end{cases}$



$$Z = P - 2N = 0 - 2 \times 0 = 0 \text{ 稳定}$$

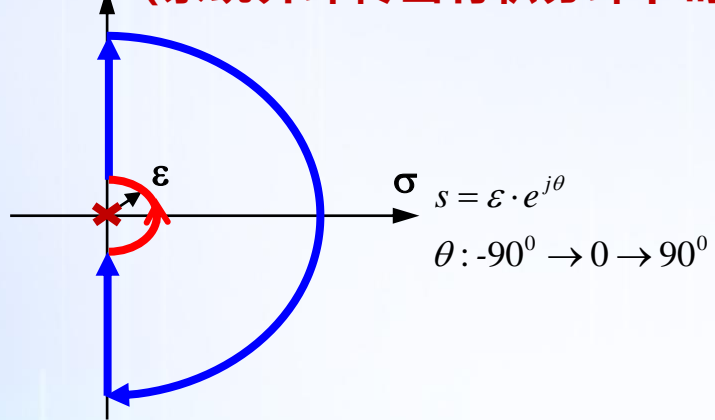


$$Z = P - 2N = 0 - 2(-1) = 2 \text{ 不稳定}$$



## 奈奎斯特稳定性判据二

(系统开环传函有积分环节时)



$$s = \varepsilon \cdot e^{j\theta}$$
$$\theta : -90^\circ \rightarrow 0 \rightarrow 90^\circ$$

$$G(s)H(s) = \frac{K \prod_{i=1}^m (\tau_i s + 1)}{s^M \prod_{i=1}^{n-M} (T_i s + 1)}$$
$$= \frac{K \prod_{i=1}^m (0 + 1)}{\varepsilon^M e^{jM\theta} \prod_{i=1}^{n-M} (0 + 1)} = \frac{K}{\varepsilon^M e^{jM\theta}} = \infty e^{-jM\theta}$$

系统开环传函有积分环节时  
增补奈奎斯特轨迹

增补轨迹的映射曲线为半径 $\infty$ 的圆曲线  
变点相角变化从 $M \times 90^\circ \rightarrow -M \times 90^\circ$

若增补奈氏曲线  $GH(j\omega)(\omega : -\infty \rightarrow \infty)$  逆时针包围 $(-1, j0)$ 点的次数 $N$  等于位于右平面上开环极点数 $P$ , 则闭环系统稳定, 否则闭环系统不稳定。



## 奈奎斯特稳定性判据二

例6.5-2 已知单位反馈系统开环传递函数, 分析系统稳定性。

$$G(s) = \frac{K}{s(T_1 s + 1)(T_2 s + 1)}$$

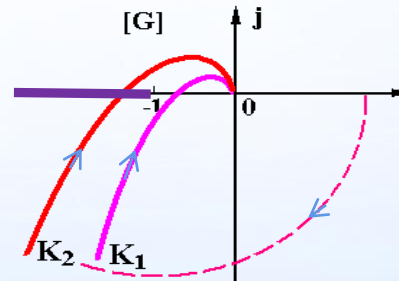
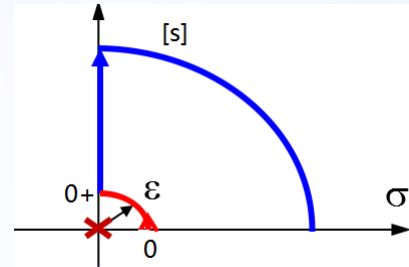
解 :  $\begin{cases} G(j0) = \infty \angle 0^\circ \\ G(j0^+) = \infty \angle -90^\circ \\ G(j\infty) = 0 \angle -270^\circ \end{cases}$

$$\begin{aligned} K &= K_1 \text{ (小)} & N &= 0 \\ Z &= P - 2N = 0 - 2 \times 0 = 0 \end{aligned}$$

稳定

$$K = K_2 \text{ (大)} \quad N = -1$$

$$Z = P - 2N = 0 - 2 \times (-1) = 2 \quad \text{不稳定}$$





# 奈奎斯特稳定性判据的应用问题

## 1. 最小相位系统的稳定性判别

最小相位系统——开环传函在右半s平面无零极点，又称开环稳定系统。

奈氏判据应用于最小相位系统时  $P = 0$

$\therefore Z = P - 2N = 0 - 2N$      $N = 0$  才有系统稳定

$\therefore$  只需判断奈氏曲线是否包围  $(-1, j0)$  点，包围则不稳定，不包围则稳定。



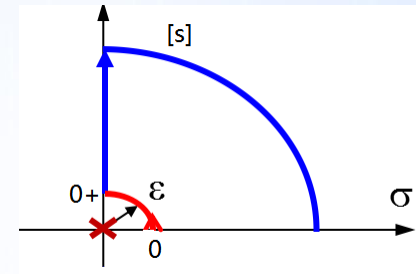
# 奈奎斯特稳定性判据的应用问题

例6.5-2 已知单位反馈系统开环传递函数,分析系统稳定性。

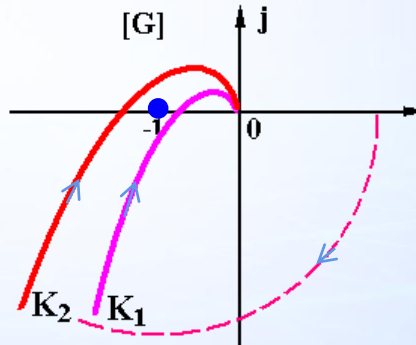
$$G(s) = \frac{K}{s(T_1 s + 1)(T_2 s + 1)}$$

解：最小相位系统  $P=0$

$K = K_1$  (小) 不包围  $(-1, j0)$ , 故闭环系统稳定



$K = K_2$  (大) 包围  $(-1, j0)$ , 故闭环系统不稳定



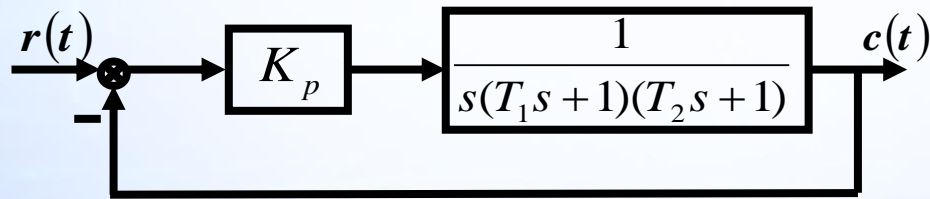


# 奈奎斯特稳定性判据的应用问题

## 2. 利用奈氏判据确定稳定系统的可变参数取值范围

利用奈氏曲线穿过(-1, j0)点来确定

例6.5-3 求图示系统闭环稳定时  $K_p$  的取值范围 ( $K_p > 0$ )



$$G(s)H(s) = \frac{K_p}{s(T_1s + 1)(T_2s + 1)}$$

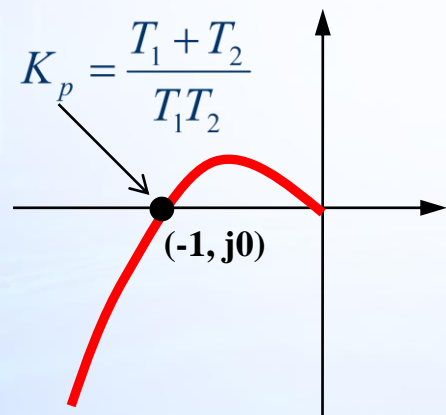
$$G(j\omega)H(j\omega) = \frac{K_p}{j\omega(T_1j\omega + 1)(T_2j\omega + 1)}$$



# 奈奎斯特稳定性判据的应用问题

例6.5-3 求图示系统闭环稳定时K<sub>p</sub>的取值范围 (K<sub>p</sub> > 0)

$$G(j\omega)H(j\omega) = \frac{K_p}{j\omega(T_1 j\omega + 1)(T_2 j\omega + 1)}$$
$$= \frac{-K_p(T_1 + T_2)}{(T_1^2 \omega^2 + 1)(T_2^2 \omega^2 + 1)} - \frac{K_p(1 - T_1 T_2 \omega^2)j}{\omega(T_1^2 \omega^2 + 1)(T_2^2 \omega^2 + 1)}$$



$$\begin{cases} \frac{-K_p(T_1 + T_2)}{(T_1^2 \omega^2 + 1)(T_2^2 \omega^2 + 1)} = -1 \\ 1 - T_1 T_2 \omega^2 = 0 \end{cases} \Rightarrow \begin{cases} K_p = \frac{T_1 + T_2}{T_1 T_2} \\ \omega = \sqrt{\frac{1}{T_1 T_2}} \end{cases}$$

$$0 < K_p < \frac{T_1 + T_2}{T_1 T_2}$$



# 控制系统的奈氏图分析

## 课程小结

- 奈奎斯特判据的基本原理
- 奈奎斯特稳定性判据一
- 一种实用的奈奎斯特稳定性判据
- 奈奎斯特稳定性判据二
- 奈奎斯特稳定性判据的应用问题

$$Z = P - 2N$$

**Z** --- 闭环极点在 S 右半平面的个数

**P** --- 开环极点在 S 右半平面的个数

**N** --- 当  $\omega: 0 \rightarrow \infty$  时, 奈氏曲线  $G H(j\omega)$  穿越  $(-\infty, -1]$  段的次数



## 主要内容

- 引言
- 频率特性的基本概念
- 频率特性的极坐标图 (Nyquist图)
- 频率特性的对数坐标图 (Bode图)
- 控制系统的奈氏图分析
- **控制系统的伯德图分析**
- **闭环系统频率特性分析**
- **控制系统的频域设计**



# 控制系统的伯德图分析

- 控制系统的相对稳定性及其判别
- 相位裕量与时域指标的关系
- 伯德图与系统稳态误差的关系



# 闭环系统频率特性分析

- 闭环频率特性的性能指标
- 闭环频域性能指标与时域性能指标的关系



# 控制系统的伯德图分析

## 1. 控制系统的相对稳定性及其判别

稳定边界		稳定程度
时域 ( $t$ )	虚轴	到虚轴的距离
频域 ( $\omega$ )	$(-1, j0)$	到 $(-1, j0)$ 的距离
稳定裕量		

合理规划人生  
留有余量

- 有明确目标
- 做好充足准备
- 提高应变能力



# 控制系统的伯德图分析

## 1. 控制系统的相对稳定性及其判别

### (1). 稳定裕量的定义

**增益穿越频率**  $\omega_c$        $|GH(j\omega_c)| = 1$        $L(\omega_c) = 0$

**相位裕量**  $\gamma$

$\gamma = 180^\circ + \angle GH(j\omega_c)$       **系统在相角上距离临界稳定的余量**

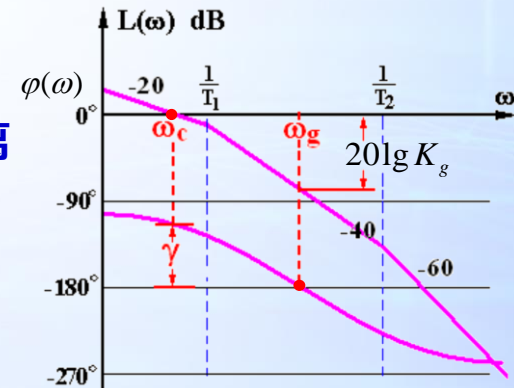
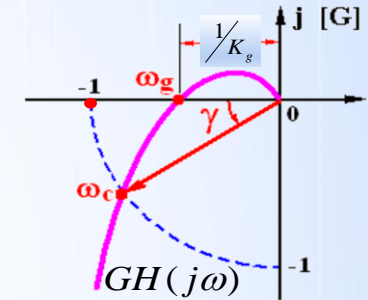
**相位穿越频率**  $\omega_g$        $\angle GH(j\omega_g) = -180^\circ$

**幅值裕量**  $K_g$

$$K_g = \frac{1}{|GH(j\omega_g)|}$$

**系统在增益上距离临界稳定的余量**

$$K_g^b = 20 \lg K_g = -20 \lg |GH(j\omega_g)| = -L(\omega_g)$$





# 控制系统的伯德图分析

## 1. 控制系统的相对稳定性及其判别

**例6.6-1 已知系统的开环传函**  $GH(s) = \frac{100}{s(s+2)(s+10)}$

**解法I：由奈氏曲线求  $\gamma, K_g$**

$$|GH(j\omega_c)| = \frac{100}{\omega_c \sqrt{\omega_c^2 + 2^2} \sqrt{\omega_c^2 + 10^2}} = 1 \Rightarrow \omega_c = 2.9$$

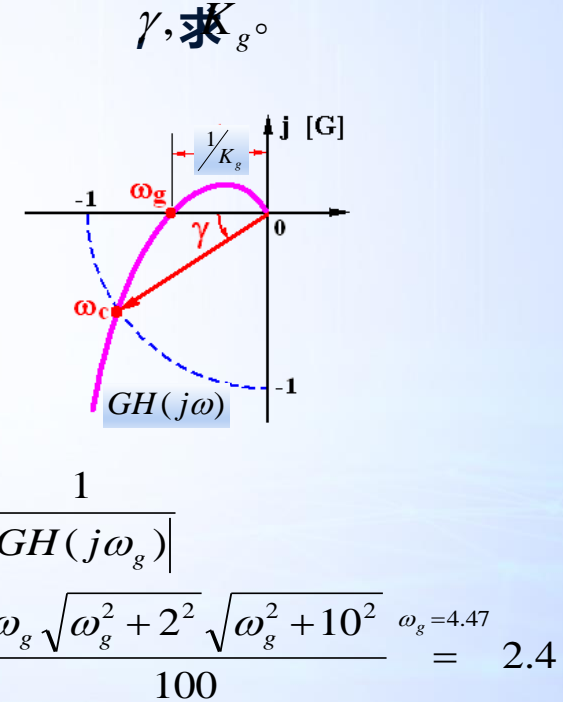
$$\gamma = 180^\circ + \angle GH(j\omega_c)$$

$$= 180^\circ - 90^\circ - \arctan \frac{2.9}{2} - \arctan \frac{2.9}{10} = 18.5^\circ$$

$$\angle GH(j\omega_g) = -180^\circ$$

$$= -90^\circ - \arctan \frac{\omega_g}{2} - \arctan \frac{\omega_g}{10}$$

$$\Rightarrow \omega_g = 4.47$$





# 控制系统的伯德图分析

## 1. 控制系统的相对稳定性及其判别

**例6.6-1 已知系统的开环传函**  $GH(s) = \frac{100}{s(s+2)(s+10)}$

$\gamma, K_g$

**解法II：由Bode图求**  $\gamma, K_g^b$

$$GH(s) = \frac{5}{s(\frac{s}{2}+1)(\frac{s}{10}+1)}$$

$$L(\omega) \approx \begin{cases} 20 \lg \frac{5}{\omega}, & \omega < 2 \\ 20 \lg \frac{5}{\omega \cdot \sqrt{2}}, & 2 < \omega < 10 \\ 20 \lg \frac{5}{\omega \cdot \sqrt{2} \cdot \sqrt{10}}, & 10 < \omega \end{cases}$$

$$L(\omega_c) = 20 \lg \frac{5}{\omega_c \cdot \frac{\omega_c}{2}} = 0$$

$$\Rightarrow \omega_c = \sqrt{10} = 3.16$$

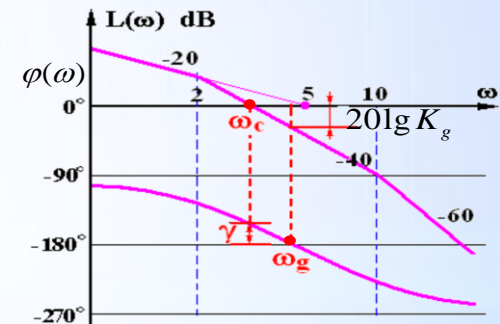
$$\gamma = 180^\circ + \angle GH(j\omega_c)$$

$$= 180^\circ - 90^\circ - \arctan \frac{3.16}{2} - \arctan \frac{3.16}{10}$$

$$= 14.8^\circ$$

$$\omega_g = 4.47$$

$$K_g^b = 20 \lg K_g = 20 \lg 2.4 = 7.6(db)$$





# 控制系统的伯德图分析

## 1. 控制系统的相对稳定性及其判别

### (2) 相对稳定性的判别

$$\begin{cases} \gamma > 0^\circ \\ K_g > 1 \end{cases} \Rightarrow \text{闭环稳定}$$

$\gamma, K_g$  常作为控制系统的**频域设计指标**。

较好的经验值为：

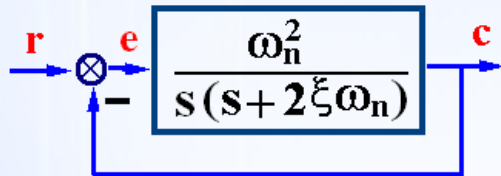
$$\gamma = 30^\circ - 60^\circ$$

$$K_g^b \geq 6(db)$$



# 控制系统的伯德图分析

## 2. 相位裕量与时域指标的关系 (以二阶系统为例)



$$|G(j\omega_c)| = \frac{\omega_n^2}{\omega_c \sqrt{\omega_c^2 + (2\xi\omega_n)^2}} = 1 \Rightarrow \omega_c = \sqrt{\sqrt{4\xi^4 + 1} - 2\xi^2} \cdot \omega_n$$

$$\Phi(s) = \frac{\omega_n^2}{s^2 + 2\xi\omega_n s + \omega_n^2} \quad \gamma = 180^\circ + \varphi(\omega_c) = 90^\circ - \arctan \frac{\omega_c}{2\xi\omega_n} = \arctan \frac{2\xi\omega_n}{\omega_c}$$

$$G(s) = \frac{\omega_n^2}{s(s + 2\xi\omega_n)}$$

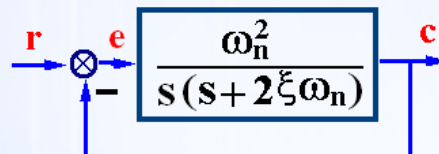
$$\left. \begin{aligned} \gamma &= \arctan \frac{2\xi}{\sqrt{\sqrt{4\xi^4 + 1} - 2\xi^2}} \\ \sigma\% &= e^{-\pi\xi/\sqrt{1-\xi^2}} \end{aligned} \right\} \gamma \Leftrightarrow \xi \Leftrightarrow \sigma\%$$

$$\left\{ \begin{aligned} |G(j\omega)| &= \frac{\omega_n^2}{\omega \sqrt{\omega^2 + (2\xi\omega_n)^2}} \\ \angle G(j\omega) &= -90^\circ - \arctan \frac{\omega}{2\xi\omega_n} \end{aligned} \right.$$



# 控制系统的伯德图分析

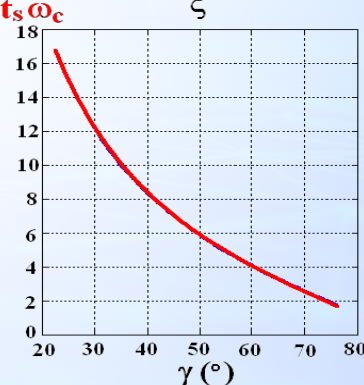
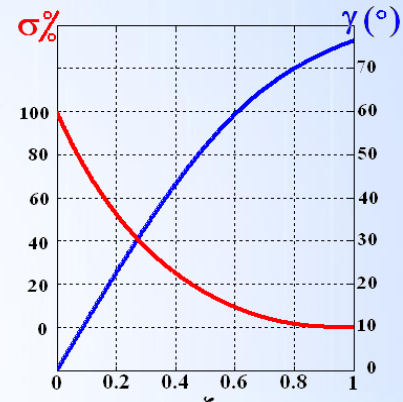
## 2. 相位裕量与时域指标的关系



$$G(s) = \frac{\omega_n^2}{s(s + 2\xi\omega_n)}$$

$$\left. \begin{aligned} \gamma &= \arctan \frac{2\xi}{\sqrt{\sqrt{4\xi^4 + 1} - 2\xi^2}} \\ \sigma\% &= e^{-\pi\xi/\sqrt{1-\xi^2}} \end{aligned} \right\} \gamma \Leftrightarrow \xi \Leftrightarrow \sigma\%$$

$$t_s = \frac{3 \sim 4}{\xi\omega_n} \xrightarrow{\omega_c = \sqrt{\sqrt{4\xi^4 + 1} - 2\xi^2} \cdot \omega_n} t_s\omega_c = \frac{3 \sim 4}{\xi} \sqrt{\sqrt{4\xi^4 + 1} - 2\xi^2} = \frac{6 \sim 8}{\tan \gamma}$$





# 控制系统的伯德图分析

## 3. 伯德图与系统稳态误差的关系

频段		对应性能
$L(\omega)$	低频段	$\left\{ \begin{array}{l} \text{开环增益 } K \\ \text{系统型别 } \nu \end{array} \right.$ 稳态误差 $e_{ss}$
	中频段	$\left\{ \begin{array}{l} \text{截止频率 } \omega_c \\ \text{相位裕量 } \gamma \end{array} \right.$ 动态性能 $\left\{ \begin{array}{l} \sigma \% \\ t_s \end{array} \right.$
	高频段	系统抗高频干扰的能力



# 控制系统的伯德图分析

## 3. 伯德图与系统稳态误差的关系

$$\text{假设 } G(s)H(s) = \frac{K}{s^v(Ts+1)}$$

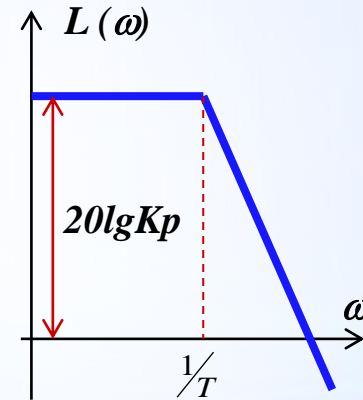
### (1) $v=0$ (0型系统)

$$G(j\omega)H(j\omega) = \frac{K}{Tj\omega + 1}$$

$$L(\omega) = 20 \lg K - 20 \lg \sqrt{T^2 \omega^2 + 1}$$

低频渐近线方程

$$L_d(\omega) = 20 \lg K = 20 \lg K_p$$



斜率 = 0, 与实轴无交点。



# 控制系统的伯德图分析

## 3. 伯德图与系统稳态误差的关系

假设  $G(s)H(s) = \frac{K}{s^v(Ts+1)}$

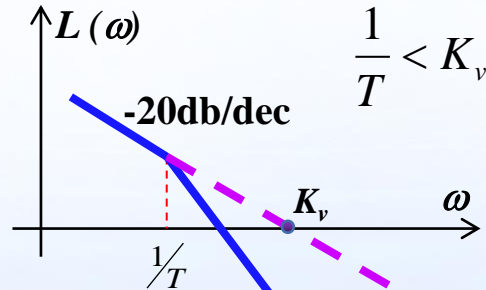
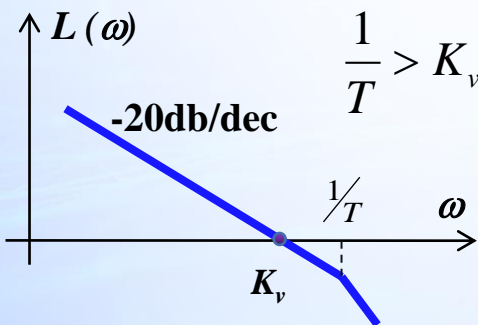
(2).  $v=1$  (1型系统)

$$G(j\omega)H(j\omega) = \frac{K}{j\omega(Tj\omega + 1)}$$

$$L(\omega) = 20\lg K - 20\lg \omega - 20\lg \sqrt{T^2\omega^2 + 1}$$

低频渐近线方程

$$L_d(\omega) = 20\lg K - 20\lg \omega = 20\lg K_v - 20\lg \omega$$



斜率 = -20 db/dec,  
交点:  $\omega = K_v$



## 控制系统的伯德图分析

### 3. 伯德图与系统稳态误差的关系

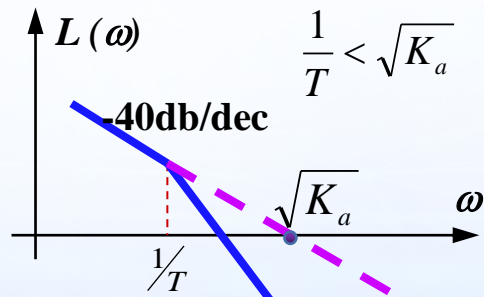
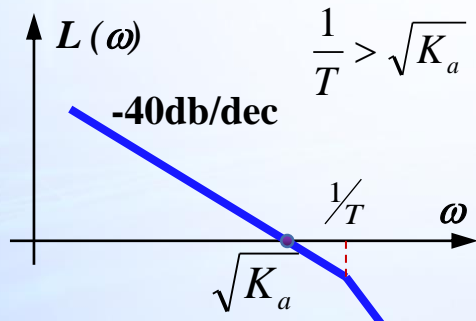
$$\text{假设 } G(s)H(s) = \frac{K}{s^v(Ts+1)}$$

(3).  $v=2$  (2型系统)  $G(j\omega)H(j\omega) = \frac{K}{(j\omega)^2(Tj\omega+1)}$

$$L(\omega) = 20 \lg K - 40 \lg \omega - 20 \lg \sqrt{T^2 \omega^2 + 1}$$

低频渐近线方程

$$L_d(\omega) = 20 \lg K - 40 \lg \omega = 20 \lg K_a - 40 \lg \omega$$



斜率 = -40 db/dec,  
交点:  $\omega = \sqrt{K_a}$



# 控制系统的伯德图分析

## 3. 伯德图与系统稳态误差的关系

$L(\omega)$ 低频段斜率	系统型别 $V$	开环增益 $K$	稳态误差 $e_{ss}$
0	0	$K_p$	
-20	1	$K_V$	
-40	2	$K_a$	



# 闭环系统频率特性分析

## 1. 闭环频率特性的性能指标

(以二阶系统为例)

$$\Phi(s) = \frac{\omega_n^2}{s^2 + 2\xi\omega_n s + \omega_n^2}$$

$$(1) \text{ 零频值 } M_0 \quad M_0 = M(0) = \frac{\omega_n^2}{0+0+\omega_n^2} = 1$$

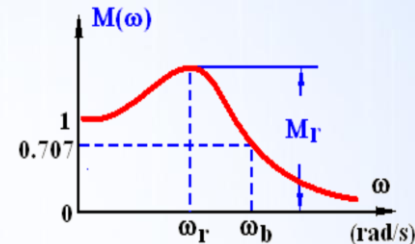
(2) 频带宽度  $\omega_b$

$M(\omega)$  下降到  $0.707M_0$  对应的频率值  $\omega_b$

$$M(\omega_b) = \frac{\omega_n^2}{\sqrt{(\omega_n^2 - \omega_b^2)^2 + (2\xi\omega_n\omega_b)^2}} = 0.707$$

$$\Rightarrow \omega_b = \omega_n \sqrt{1 - 2\xi^2 + \sqrt{2 - 4\xi^2 + 4\xi^4}}$$

$$(3) \begin{cases} \text{谐振频率} & \omega_r = \omega_n \sqrt{1 - 2\xi^2} \\ \text{谐振峰值} & M_r = \frac{1}{2\xi\sqrt{1 - \xi^2}} \end{cases}$$



闭环幅频特性



# 闭环控制频率特性分析

## 2. 闭环频域性能指标与时域性能指标的关系

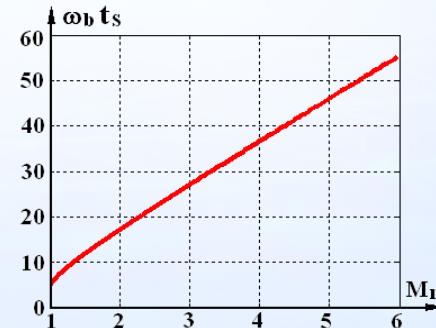
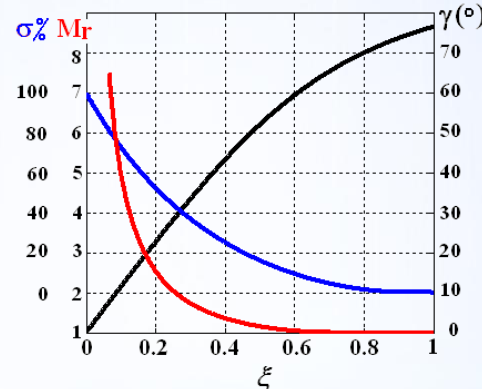
$$\Phi(s) = \frac{\omega_n^2}{s^2 + 2\xi\omega_n s + \omega_n^2}$$

$$\begin{cases} \omega_r = \omega_n \sqrt{1 - 2\xi^2} \\ M_r = \frac{1}{2\xi\sqrt{1 - \xi^2}} \end{cases} \quad (0 \leq \xi \leq 0.707)$$

$$\omega_b = \omega_n \sqrt{1 - 2\xi^2 + \sqrt{2 - 4\xi^2 + 4\xi^4}}$$

$$t_s = 3 \sim 4 / \xi \omega_n$$

$$\omega_b t_s = \frac{3 \sim 4}{\xi} \sqrt{1 - 2\xi^2 + \sqrt{2 - 4\xi^2 + 4\xi^4}}$$





# 控制系统的伯德图分析

## 课程小结

L( $\omega$ )	频段	对应性能
	低频段	$\left\{ \begin{array}{l} \text{开环增益 } K \\ \text{系统型别 } \nu \end{array} \right.$ 稳态误差 $e_{ss}$
	中频段	$\left\{ \begin{array}{l} \text{截止频率 } \omega_c \\ \text{相位裕量 } \gamma \end{array} \right.$ 动态性能 $\left\{ \begin{array}{l} \sigma \% \\ t_s \end{array} \right.$
	高频段	系统抗高频干扰的能力



# 闭环系统频率特性分析

## 课程小结

- 频带宽度  $\omega_b$
- 谐振频率  $\omega_r$
- 谐振峰值  $M_r$



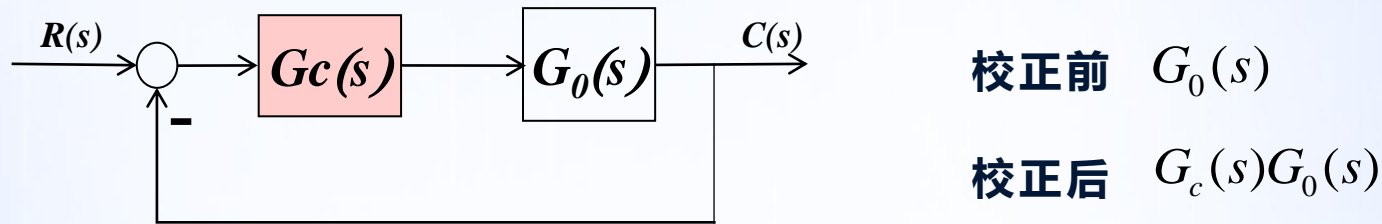
# 主要内容

- 引言
- 频率特性的基本概念
- 频率特性的极坐标图 (Nyquist图)
- 频率特性的对数坐标图 (Bode图)
- 控制系统的奈氏图分析
- 控制系统的伯德图分析
- 闭环系统频率特性分析
- **控制系统的频域设计**



# 控制系统的频域设计

**串联校正：**在被控对象前串接结构和参数可调整的装置（校正装置），用以改善系统性能，使系统满足指标要求。



期望  $L(\omega)$  {

低频段	高度，保证稳态精度
中频段	宽度，保证动态性能
高频段	低，保证高频抗干扰的能力



# 控制系统的频域设计

- 典型相位超前控制器特性
- 典型相位滞后控制器特性
- 典型滞后-超前控制器特性
- 基于串联校正典型控制器的频域设计



# 控制系统的频域设计

## 1. 典型相位超前控制器特性

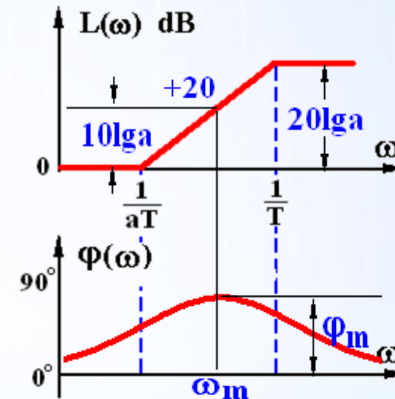
$$G_c(s) = K_c \frac{1 + \alpha Ts}{1 + Ts} (\alpha > 1) \quad \text{令 } K_c = 1$$

$$L(\omega) \approx 20 \lg \frac{\alpha T \omega}{T \omega} = 20 \lg \alpha \left( \omega > \frac{1}{T} \right)$$

$$\varphi(\omega) = \arctan(\alpha T \omega) - \arctan(T \omega) > 0$$

$$\frac{d\varphi(\omega)}{d\omega} = 0 \Rightarrow \omega_m = 1/\sqrt{\alpha T} \quad \varphi_m = \varphi(\omega_m) = \arcsin \frac{\alpha - 1}{\alpha + 1}$$

**利用相位超前特性提高系统的相位裕量**



$$\left. \begin{aligned} L(\omega_m) &= 10 \lg \alpha \\ \alpha &= \frac{1 + \sin \varphi_m}{1 - \sin \varphi_m} \end{aligned} \right\}$$



# 控制系统的频域设计

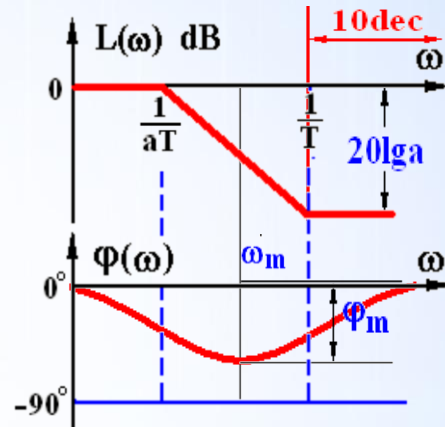
## 2. 典型相位滞后控制器特性

$$G_c(s) = K_c \frac{1+Ts}{1+\alpha Ts} (\alpha > 1) \quad \text{令 } K_c = 1$$

$$\varphi(\omega) = \arctan(T\omega) - \arctan(\alpha T\omega) < 0$$

$$\varphi\left(\frac{10}{T}\right) = \arctan(10) - \arctan(10\alpha) = \arctan \frac{10(1-\alpha)}{1+100\alpha}$$

$$= \arctan \frac{10(1/\alpha - 1)}{1/\alpha + 100} \xrightarrow{1/\alpha \rightarrow 0} -\arctan 0.1 = -5.7^\circ$$



- 相角滞后，幅值衰减 利用滞后网络幅值衰减特性释放系统本身的相角裕量
- $1/T$ 后10dec处的相角损失不超过 $-6^\circ$



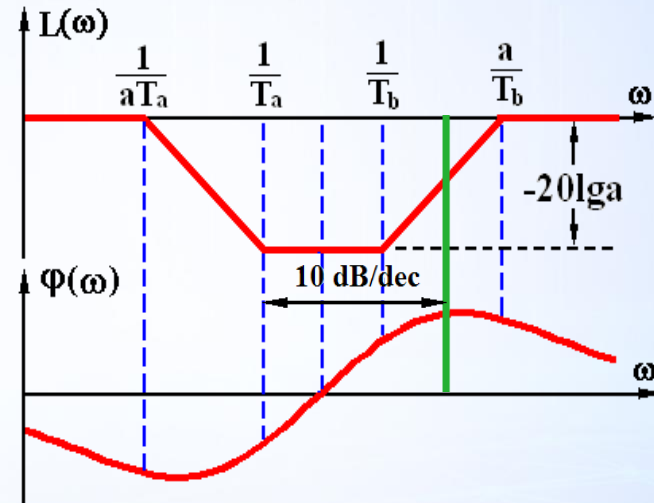
# 控制系统的频域设计

## 3. 典型滞后-超前控制器特性

$$G_c(s) = \frac{(T_a s + 1)}{(\alpha T_a s + 1)} \cdot \frac{(T_b s + 1)}{\left(\frac{T_b}{\alpha} s + 1\right)} \quad (\alpha > 1)$$

$$aT_a > T_a > T_b > \frac{T_b}{a}$$

幅值衰减，相角超前



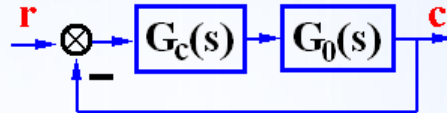


# 控制系统的频域设计

## 4. 基于串联校正典型控制器的频域设计

### 串联校正的频率法设计步骤

- 一、根据稳态误差要求确定  $K_c$
- 二、绘制  $K_c G_0(s)$  的伯德图
- 三、选择合适的校正环节
- 四、设计校正环节的参数
- 五、检验校正后系统的性能指标
- 六、若性能指标不达标，返回第四步重新设计参数





# 控制系统的频域设计

## 4. 基于串联校正典型控制器的频域设计

典型相位超前控制器设计步骤 (设给定指标  $e_{ss}^*$ ,  $\omega_c^*$ ,  $\gamma^*$ )

—— 利用超前校正环节的相角超前特性提高系统的相位裕量

① 由  $e_{ss}^* \rightarrow K \rightarrow G_0(s) \rightarrow L_0(\omega) \rightarrow \omega_{c0} \rightarrow \gamma_0$   $\boxed{\omega_{c0}, \gamma_0 \text{ 均不足}}$

② 确定  $\varphi_m = \gamma^* - \gamma_0 + (5^\circ \sim 10^\circ) \Rightarrow \alpha = \frac{1 + \sin \varphi_m}{1 - \sin \varphi_m}$

③ 设计  $\omega_c^* = \omega_m$   $\boxed{L_c(\omega_m) + L_0(\omega_c^*) = 0 \text{ 即 } |G_0(j\omega_c^*)| = \frac{1}{\sqrt{\alpha}}}$

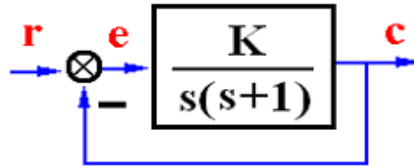
④ 确定参数  $T \Rightarrow G_c(s)$

⑤  $G(s) = G_c(s) \cdot G_0(s)$  验算  $\omega_c^*$ 、 $\gamma^*$  是否满足要求

⑥ 若不满足性能要求，返回②重新设计



# 控制系统的频域设计



例6.8-1 已知  $G_0(s) = \frac{K}{s(s+1)}$ , 设计一校正环节使  $K_v \geq 10(1/s)$ ,  
 $\omega_c \geq 5 \text{ rad/s}$ ,  $\gamma \geq 60^\circ$ ,  $K_g^b \geq 10 \text{ dB}$

## 1. 按稳态误差要求确定K, 计算原系统的增益穿越频率及相位裕量

$$K_v = \lim_{s \rightarrow 0} sG_0(s) = K \geq 10$$

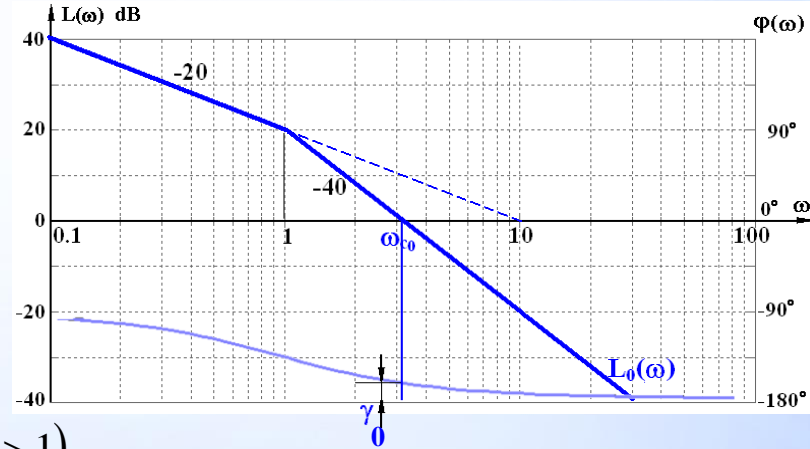
取  $K = 10$

$$G_0(s) = \frac{10}{s(s+1)}$$

$$\omega_{c0} = 3.08$$

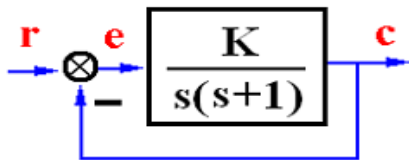
$$\gamma_0 = 18^\circ$$

采用串联相位超前校正环节  $G_c(s) = \frac{1 + \alpha Ts}{1 + Ts}$  ( $\alpha > 1$ )

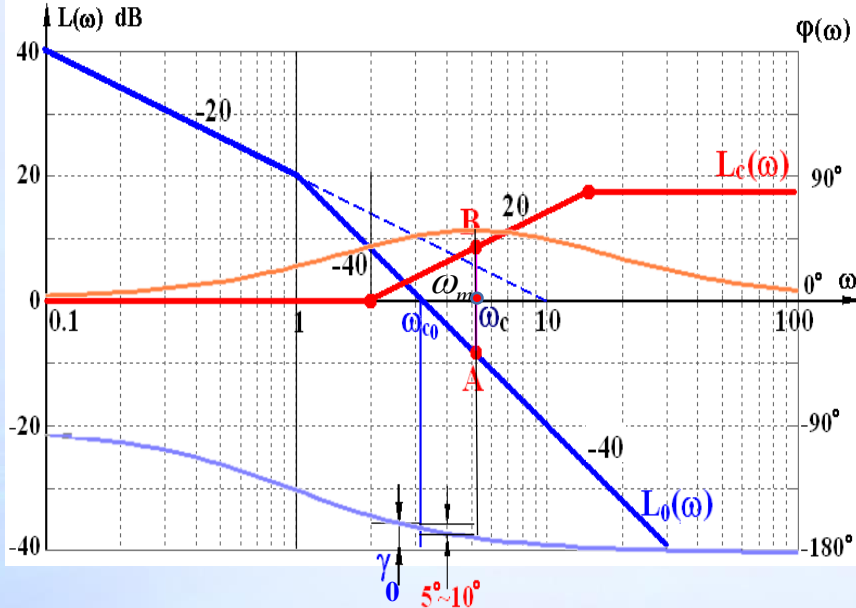




# 控制系统的频域设计



例6.8-1 已知  $G_0(s) = \frac{K}{s(s+1)}$ , 设计一校正环节使  $K_v \geq 10(1/s)$ ,  
 $\omega_c \geq 5 \text{ rad/s}$ ,  $\gamma \geq 60^\circ$ ,  $K_g^b \geq 10 \text{ dB}$



## 2. 计算最大超前角 $\varphi_m$ 及参数 $\alpha$

$$\begin{aligned}\varphi_m &= \gamma - \gamma_0 + (5^\circ \sim 10^\circ) \\ &= 60 - 18 + 8 = 50^\circ\end{aligned}$$

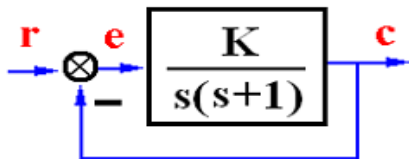
$$\alpha = \frac{1 + \sin \varphi_m}{1 - \sin \varphi_m} = 7.5486$$

关键思路：

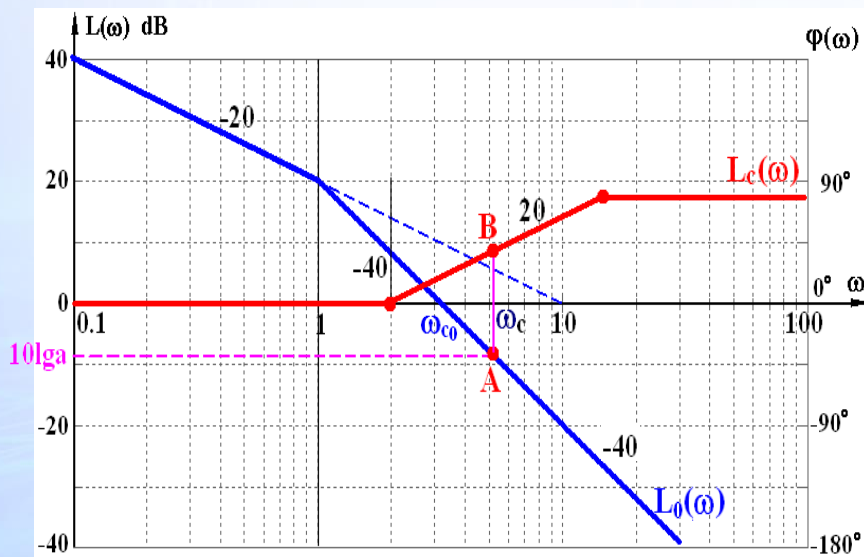
$$\boxed{\omega_m = \omega_c}$$



# 控制系统的频域设计



例6.8-1 已知  $G_0(s) = \frac{K}{s(s+1)}$ , 设计一校正环节使  $K_v \geq 10(1/s)$ ,  
 $\omega_c \geq 5 \text{ rad/s}$ ,  $\gamma \geq 60^\circ$ ,  $K_g^b \geq 10 \text{ dB}$



3. 确定新系统的增益穿越频率  $\omega_m$  即  $\omega_c$

作法：在0 db线下  $10\lg\alpha$  处作水平线，与

$L_0(\omega)$  的交点对应的  $\omega$  值即为  $\omega_m$  或  $\omega_c$

$$L_c(\omega_m) + L_0(\omega_c) = 0$$

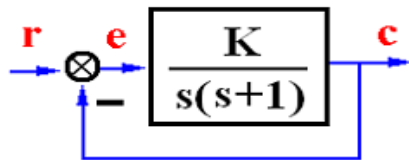
$$10\lg\alpha + 20\lg|G_0(j\omega_c)| = 0$$

$$\text{即 } |G_0(j\omega_c)| = \frac{1}{\sqrt{\alpha}}$$

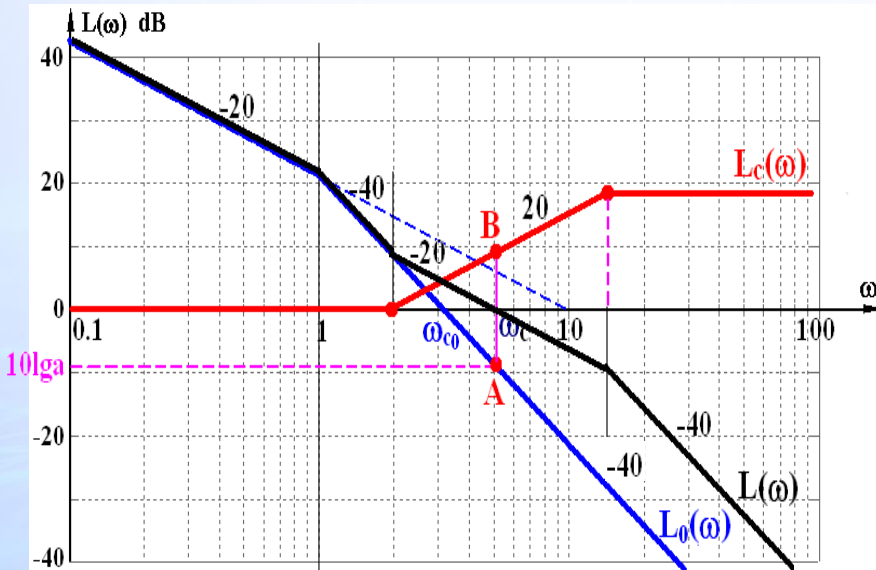
$$\Rightarrow \omega_c = \omega_m = 5.19$$



# 控制系统的频域设计



例6.8-1 已知  $G_0(s) = \frac{K}{s(s+1)}$ , 设计一校正环节使  $K_v \geq 10(1/s)$ ,  
 $\omega_c \geq 5 \text{ rad/s}$ ,  $\gamma \geq 60^\circ$ ,  $K_g^b \geq 10 \text{ dB}$



## 4. 确定参数T及校正环节的传递函数

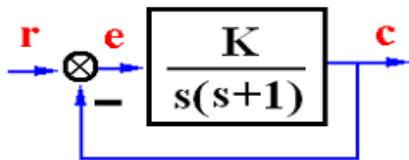
$$T = \frac{1}{\omega_m \sqrt{\alpha}} = \frac{1}{5.19 \cdot \sqrt{7.5486}} = 0.0701$$

$$G_c(s) = \frac{1 + \alpha T s}{1 + T s} = \frac{1 + 0.5292 s}{1 + 0.0701 s}$$

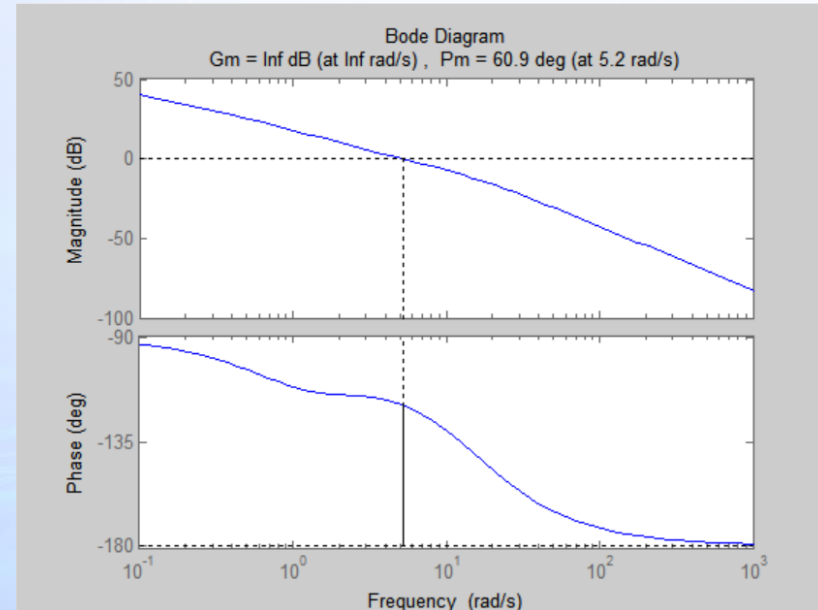
$$G_0(s)G_c(s) = \frac{10}{s(s+1)} \cdot \frac{1 + \alpha T s}{1 + T s}$$



# 控制系统的频域设计



例6.8-1 已知  $G_0(s) = \frac{K}{s(s+1)}$ , 设计一校正环节使  $K_v \geq 10(1/s)$ ,  
 $\omega_c \geq 5 \text{ rad/s}$ ,  $\gamma \geq 60^\circ$ ,  $K_g^b \geq 10 \text{ dB}$



## 5. 性能校核

$$\begin{aligned}G_0(s)G_c(s) &= \frac{10}{s(s+1)} \cdot \frac{1+\alpha Ts}{1+Ts} \\&= \frac{10}{s(s+1)} \cdot \frac{1+0.5292s}{1+0.0701s}\end{aligned}$$

满足设计性能要求，设计完成



# 控制系统的频域设计

## 4. 基于串联校正典型控制器的频域设计

### 典型相位超前控制器设计小结

**实质：**利用超前环节相角超前特性提高系统的相位裕量

**适用：**  $\omega_{c0} \leq \omega_c^*$ ,  $\gamma_0 \leq \gamma^*$

**效果：**  $\left\{ \begin{array}{ll} \text{保持低频段} & \text{满足稳态精度 } e_{ss} \\ \text{改善中频段} & \omega_c \uparrow, \gamma \uparrow \text{ 动态性能提高} \\ \text{抬高高频段} & \text{抗高频干扰能力降低} \end{array} \right.$



# 控制系统的频域设计

## 课程小结

串联校正控制器的特性			
串联校正控制器的频域设计方法及对比			
校正方法	校正特点	应用场合	效果
① 超前校正	幅值增加 相角超前	$\begin{cases} \omega_{c0} < \omega_c^* \\ \gamma_0 < \gamma^* \end{cases}$	$\begin{cases} \omega_c \uparrow, \gamma \uparrow \\ \text{高频段} \uparrow \end{cases}$
② 滞后校正	幅值衰减 相角滞后	$\begin{cases} \omega_{c0} > \omega_c^* \\ \gamma_0 < \gamma^* \end{cases}$	$\begin{cases} \omega_c \downarrow, \gamma \uparrow \\ \text{高频段} \downarrow \end{cases}$
③ 滞后超前	幅值衰减 相角超前	滞后超前 均不奏效	$\begin{cases} \omega_c \sim, \gamma \uparrow \\ \text{高频段} \sim \end{cases}$